

سنتر، شناسایی ساختاری و مطالعه های برون تنی از تاثیرات ضدتکثیری و القاء آپوپتوز کمپلکس جدیدی از اکسووانادیم (IV)-کورکومین

مهسا نظری^۱، امیر شکوه سلجوچی^{۱*}

۱- دانشگاه فردوسی مشهد، ایران، مشهد، میدان آزادی، دانشگاه فردوسی مشهد، دانشکده علوم، گروه شیمی.

چکیده

سابقه و هدف: ترکیبات وانادیوم دارای دو نقش مهارکنندگی و ضدتوموری در مقابل عوامل شیمیایی مولد سرطان در انواع رده های سلولی می باشند. هم چنین مطالعه ها نشان داده اند که کورکومین در غلظت های خیلی کم، موجب القاء آپوپتوز و مهار تکثیر سلول های سرطانی می شود. هدف از این مطالعه، سنتر کمپلکس جدیدی از وانادیم-کورکومین و ارزیابی اثرات آپوپتیک و ضدتکثیری این ترکیب می باشد.

مواد و روش ها: در این مطالعه، کمپلکس (۱۰-بیس ۱۴-هیدروکسی-۳-متوكسی-۱-۶-هپتادی-۳-او-۵-دی اوناتو) استیل استوناتو اکسو وانادیم (IV) سنتر گردید. سایتوتوکسیسیته این کمپلکس به منظور ارزیابی فعالیت ضد سرطانی آن بر روی رده های سلولی HeLa، MCF-۷، MCF-۵۶۲، K-۵۶۲ و Neuro-۲a با روش MTT و فلوسایتومتری و استفاده از سیسی پلاتین به عنوان مرجع، بررسی گردید. همزمان اثر این ترکیب سنتری بر سلول های نرمال فیبروبلاست موش (L۹۲۹) به عنوان شاهد ارزیابی شد.

یافته ها: IC₅₀ به دست آمده از اثر کمپلکس سنتر شده بر روی رده های سلولی HeLa، MCF-۷، HT-۲۹، K-۵۶۲ و Neuro-۲a به ترتیب ۱۶۵/۲۳، ۵/۱±۶۵/۲۳، ۲/۱±۴۸/۰۵، ۴۲/۵±۶/۱۹، ۳/۱±۹۹/۱۲، ۶۵/۶±۳/۸۹ و ۶۵/۸±۷/۹۸ می باشد. در حالی که IC₅₀ سیسی پلاتین به عنوان یک داروی استاندارد در شیمی درمانی سرطان بر روی همین رده های سلولی به ترتیب ۴۵/۱۲، ۰/۰±۴۵/۱۲، ۶/۲±۴/۹۳، ۱۵/۴±۴/۹۳ و ۰/۹۳±۲۴/۲ به دست آمد. نتایج فلوسایتومتری کمپلکس مورد نظر نیز جمعیت زیادی از سلول ها را در نواحی آپوپتوز (۵۸/۴۶) و ۱/۲ برابر بیش تراز سیسی پلاتین (۴۸/۰۳) در غلظت یکسان نشان داد.

نتیجه گیری: نتایج به دست آمده سایتوتوکسیسیته ای بیشتری را برای کمپلکس مورد نظر در مقابل رده های سلولی K-۵۶۲ و MCF-۷ نشان داد. نتایج به دست آمده اثبات می کند کمپلکس سنتر شده هیچ گونه تأثیر سایتوتوکسیکی بر روی بر سلول های نرمal فیبروبلاست موش (L۹۲۹) ندارد. هم چنین نتایج فلوسایتومتری کمپلکس وانادیم، بیانگر این است که کمپلکس جدید سنتر شده می تواند منجر به آپوپتوز سلول های سرطانی K-۵۶۲ شود.

کلمات کلیدی: وانادیم، کورکومین، روش MTT، فلوسایتومتری، سیسی پلاتین، MCF-۷، K-۵۶۲، L۹۲۹.

مقدمه

اشاره کرد. به طور کلی بسیاری از داروهای شیمیایی که به منظور شیمی درمانی سرطان به کار برده می شوند، اغلب سبب تغییر هایی در فرایند تقسیم سلولی شده و بدین ترتیب، تکثیر و تمایز سلول سرطانی متوقف می شود. در سنتر این دارو ها علاوه بر آن که خاصیت سایتوتوکسیک آن ها در برابر سلول های سرطانی حائز اهمیت است، این ویژگی که کم ترین اثرات جانبی رانیز بر روی سلول های سالم فرد بیمار داشته باشد، از اهمیت بالایی برخوردار است. یکی از مؤثرترین داروهای شیمی درمانی، سیسی پلاتین است اما ایجاد اساسی آن سمیت این دارو است که به سلول های سالم فرد نیز صدمه می زند (۲۶). بنابراین دانشمندان سعی دارند تا داروهای جدیدتری با اثرات سمی پایین را جایگزین این داروهای سمی کنند.

امروزه سرطان^۱ یکی از مهم ترین معضلات سلامتی در سراسر دنیا به حساب می آید که به معنای رشد، تکثیر و گاهی انتشار غیر طبیعی سلول های بدن است (۲). از روش های درمان سرطان می توان به جراحی، پرتو درمانی، شیمی درمانی، ژن درمانی و غیره

نویسنده مسئول :
 دانشگاه فردوسی مشهد، ایران، مشهد، میدان آزادی، دانشگاه فردوسی مشهد، دانشکده علوم، گروه شیمی.
 آدرس الکترونیک : saljooghi@um.ac.ir
 تاریخ دریافت : ۱۳۹۳/۰۹/۱۰
 تاریخ پذیرش : ۱۳۹۴/۰۷/۰۸
 Cancer ۱

سرطانی می شود. این مرگ سلولی با تکه تکه شدن DNA و توقف چرخه سلولی در فازهای سنتز و G2/M اتفاق می افتد. القاء آپوپتوز سلول سرطانی توسط کورکومین به دلیل آزادسازی سیتوکروم C، تولید گونه های فعال اکسیژن و تأثیر روی پروتئین p53 می باشد و هم چنین سیگنال های داخل سلولی که مسئول آسیب DNA و توقف رشد سلولی هستند را فعال می کند (۲۲).

در مطالعه ای سمیت سلولی وانادیل کورکومین بر روی رده های سلولی لنفوی موش و سلول های ماهیچه ای مورد بررسی قرار گرفته است (۲۷). در این مطالعه نیز با توجه به اثرات مشاهده شده در کورکومین و خصوصیات ضد سرطانی وانادیم، کمپلکس جدیدی از وانادیم با لیگاند کورکومین سنتز شد. پس از سنتز، خاصیت ضد سرطانی و سایوتوكسیک آن بر روی رده های سلولی HeLa (کارسینومای تخمداهن انسانی)، MCF-۷ (سرطان سینه انسانی)، HT-۲۹ (سرطان روده بزرگ انسانی)، K-۵۶۲ (سرطان سلول های میلوبیدی خون انسان) و Neuro-۲a (نوروبلاستوما موشی) با روش MTT و فلوسایتومتری بررسی گردید. هم چنین به منظور مقایسه خاصیت سایوتوكسیک این ترکیب با داروهای رایج در شیمی درمانی، خاصیت سایوتوكسیک داروی سیس پلاتین نیز به عنوان مرجع، مورد بررسی گرفت.

مواد و روش ها

حلال ها و (استیل استوناتو) اکسو وانادیم (IV) از شرکت مرك^{۱۰} آلمان خریداری شدند. کورکومین و سیس پلاتین از شرکت سیگما-آلدریچ^{۱۱}، سرم جنین گاوی و محیط کشت RPMI-۱۶۴۰ و Dulbecco's modified Eagles (DMEM) از شرکت جیبکو^{۱۲}، پنی سیلین و استرپتومایسین از شرکت بیوکروم ای جی^{۱۳} آلمان، (دی متیل تیازول دی فنیل ترازوولیم بر ماید) از شرکت سیگما^{۱۴}، و Neuro-۲a^{۱۵}، HT-۲۹^{۱۶}، MCF-۷^{۱۷}، HeLa^{۱۸} و K-۵۶۲^{۱۹} از استیتو پاستور (تهران، ایران) خریداری شدند.

سنتز کمپلکس (۱۰-۷-بیس ۱-۴-هیدروکسی-۳-متوكسی فنیل)-۱۰-۶-هپتادی ان-۳-۵-دی اوناتو) استیل استوناتو

اکسو وانادیم (IV) ، [VO(Cure)(acac)]

برای تهییه ی کمپلکس [VO(Cure)(acac)] (شکل ۲)، مقدار ۱/۱ میلی مول [VO(acac)₂] را در ۱۰ میلی لیتر مтанول گاززادایی شده^{۱۵} حل نموده و آن را، قطره قطره به محلول حاوی ۱۰ میلی لیتر مтанول

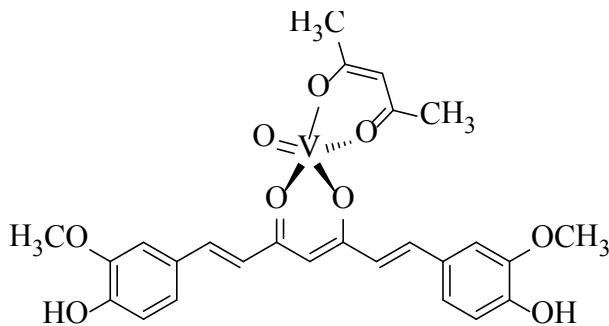
Merck	۱۰
Sigma Aldrich	۱۱
GIBCO (Gaithersburg, USA)	۱۲
Biochrom AG (Berlin, Germany)	۱۳
Sigma	۱۴
Degassed	۱۵

در سال های اخیر توجه زیادی به یافتن ترکیبات ضد سرطانی جدید

حاوی یون های فلزی شده است (۱۸).

وانادیوم، عنصری است که به همراه چندین ترکیب شیمیایی اش، از جهت علمی و بیولوژیکی بسیار مورد توجه می باشند زیرا مشخص شده که این مشتقات، دارای خصوصیات فیزیولوژیکی ارزشمندی می باشند. وانادیوم در غلظت های بسیار پایین دارای خصوصیات ضدسرطانی بدون سمیت جانبی می باشد (۱۲). ترکیبات وانادیوم دارای دو نقش مهارکنندگی و ضدتوموری در مقابل عوامل شیمیایی مولد سرطان در جانوران و در انواع رده های سلولی می باشند. در گزارش ها، آمده است که ترکیبات وانادیوم ممکن است القاء کننده توقف سیکل سلولی، قطعه کردن DNA و شکافت آن و لیپوپراکسیداسیون غشاء پلاسمایی شوند (۸). اولین بار اثرات ضد سرطانی وانادیوم در مطالعه ای بر روی سرطان سینه القاء شده در رت در سال ۱۹۸۴ مورد آزمایش قرار گرفت (۲۸). مطالعه ها بعدی اثربخشی ترکیبات وانادیوم را بر روی رده های مختلف سلول های سرطانی انسان از قبیل سرطان کبد (۳۲)، سرطان سینه (۲۰)، لوسومی (۲۹)، کلیه (۱۹)، تخمداهن (۱۱)، بیضه (۹) و سلول های اپیتلیال (۱۰) نشان دادند. کمپلکس های مختلف وانادیوم دارای اثرات ضد سرطانی بیشتری در شرایط برون تنی (*in vitro*) و درون تنی (*in vivo*) نسبت به نمک های چهار و پنج ظرفیتی وانادیوم می باشند (۱۵). ساختن کمپلکس وانادیل^۳ با یک آنتی اکسیدان شناخته شده نظیر کورکومین^۱، در افزایش توانایی وانادیل به عنوان عامل کاهنده ی قند خون گزارش شده است (۲۴). کورکومین با نام شیمیایی ۱۰-۷-بیس ۱-۴-هیدروکسی-۳-متوكسی فنیل-۱۰-۶-هپتادی ان-۳-۵-دی اون، (شکل ۱) که ۲-۵ درصد مواد موجود در زرد چوبه را تشکیل می دهد، از ریزوپیویم گیاه کورکومین لونگا^۲ متعلق به خانواده زینگی براستا^۳ جدا شده است (۲۱). کورکومین یا دی-فروولیل متان^۴، اولین بار در سال ۱۸۱۵ توسط وگل^۵ خالص و جداسازی شد و در سال ۱۸۷۰ توسط داآوبه^۶ به صورت کریستال و پودر درآمد (۱۳). در مطالعه ها بالینی اثرات دارویی متعددی را برای کورکومین گزارش دادند که می توان به اثرات ضد التهابی (۲۵)، ضد میکروبی (۱۴)، درمان بیماری های دیابتی (۲۳)، آرتربیت روماتوئید (۵)، آزایمر (۴) و سرطان (۳) اشاره کرد. مطالعه ها برون تنی نشان داد که کورکومین در غلظت های خیلی کم، از طریق القاء آپوپتوز (مرگ برنامه ریزی شده سلول) و مهار تکثیر سلول های سرطانی، موجب مهار رشد سلول های

Vanadium	۲
Vanadyl	۳
Curcumin	۴
Curcumin longa	۵
Zingiberaceae	۶
Diferuloylmethane	۷
Vogel	۸
Daube	۹



شکل ۲: ساختار کمپلکس فلزی تهیه شده در این مطالعه.

رده سلولی و کشت سلول

رده های سلولی HT-۲۹، MCF-۷ و L۹۲۹ که در محیط کشت جنین گاوی (۱۰ FBS)، پنی سیلین (۱۰۰ U/ml) و استرپتومایسین (۱۰ μg/ml) باشد، رشد می کنند. این سلول ها در دمای ۳۷ درجه سانتی گراد و در فشار CO₂ ۵% انکوبه می شوند، سلول های Dulbeccos modified Eagles medium (DMEM) که در محیط کشت Neuro-2-A medium شامل ۱ g/L گلوکز و ۲ mM گلوتامین به همراه ۱۰ FBS، پنی سیلین (۱۰۰ U/ml) و استرپتومایسین (۱۰۰ μg/ml) باشد، رشد می کنند. این سلول ها در دمای ۳۷ درجه سانتی گراد و در فشار CO₂ ۵% انکوبه می شوند. سلول های mM در محیط کشت شامل آمینو اسیدهای غیر ضروری (۱۰)، سدیم پیررووات (۱ mM)، L-گلوتامین (۲ mM) و ۵ سرم جنین گاوی (۵ FBS) باشد، رشد می کنند. این سلول ها در دمای ۳۷ درجه و در فشار CO₂ ۵% انکوبه می شوند. سلول های K-۵۶۲ نیز در محیط کشت RPMI-۱۶۴۰ که شامل ۱۰ سرم جنین گاوی (۱۰ FBS)، پنی سیلین (۱۰۰ U/ml) و استرپتومایسین (۱۰۰ ml) باشد، رشد می کنند. این سلول ها در دمای ۳۷ درجه و در فشار CO₂ ۵% انکوبه می شوند. شمارش سلول ها در لام نئوبار و توسط هموسایوتومتر انجام شد. در تمامی آزمون ها ابتدا درصد سلول های زنده با رنگ تریپان بلو تعیین گردید که همواره بالای ۹۵ بود. برای تهیه محیط کشت سلولی RPMI-۱۶۴۰، ابتدا ۴/۱۰ گرم پودر RPMI-۱۶۴۰، توسط ترازو توزین و توسط داخل ارلن یک لیتری که از قبل داخل آن آب قطره دوار تقطیر استریل شده توسط اتوکلاو وجود داشت، ریخته شد و سپس ۲ گرم بیکربنات سدیم به آن اضافه گردید. سپس آنتی بیوتیک های پنی سیلین (۱۰۰ U/ml) و استرپتومایسین (۱۰۰ μg/ml) به محیط اضافه می شوند. توسط pH متر، آن با HCl غلیظ به ۷/۴ رسانده شد. محیط کشت تهیه شده با استفاده از دستگاه فیلتراسیون و کاغذ فیلتر ۰/۰۴ میکرون در داخل ارلن مایر استریل و تحت شرایط به طور کامل استریل در اتاق هود بیولوژیک، فیلتر شده و این محیط به داخل ظرف های

گاززدایی شده و ۰/۱ میلی مول (۰/۰۳۶ گرم) لیگاند کورکومین افزوده شد. مخلوط واکنش برای ۲ ساعت تحت گاز آرگون رفلکس و سپس در دمای اتاق سرد می شود. محصول جامد به وسیله ی صاف کردن، جدا شده و با متابول سرد شسته و به مدت یک شبانه روز تحت خلاء در دمای اتاق خشک می شود.

روش های طیف سنجی

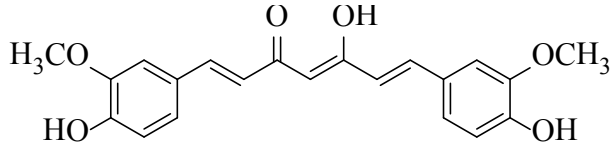
ساختار کمپلکس سنتز شده به روش های اندازه گیری نقطه ذوب، طیف سنجی جرمی و طیف سنجی تبدیل فوریه زیر قرمز (FT-IR) شناسایی شد. طیف سنجی تبدیل فوریه زیر قرمز برای FT-IR Nicolet Thermo VATARA مدل ۳۷۰ با استفاده از قرص پتاسیم برمید در بازه ۴۰۰-۴۰۰ cm^{-۱} انجام گرفت. آنالیز جرمی کمپلکس با استفاده از دستگاه Marian CH₇A از دستگاه Marian CH₇A و دمای ذوب با استفاده از دستگاه Thermo Fisher Scientific مدل ۹۳۰۰ اندازه گیری شد.

اطلاعات طیفی

در طیف IR مربوط به کمپلکس (۱۰-۷-بیس ۴-هیدروکسی-۳-متوكسی فنیل) -۱۰۶-هپتا دی ان-۳-۵-دی اوناتو استیل استوناتو اکسو وانادیم (IV)، پیکی در ناحیه ۱۶۱۹ cm^{-۱} مشاهده می شود که به فرکانس کششی گروه (C=O) تعلق دارد و همچنین پیک های ناحیه ۹۷۲ cm^{-۱} و ۷۳۰ cm^{-۱} به ترتیب مربوط به فرکانس های کششی (V=O) و (V-O) می باشند. همچنین در طیف جرم کمپلکس، پیک یون مولکولی در m/z ۵۳۳ ظاهر شده است که تاییدی بر سنتز کمپلکس می باشد.

FT-IR (cm^{-۱}): ۳۵۰۳.۹، ۱۶۱۹.۹ (C=O)، ۱۵۹۰.۴، Mp ۳۱۰ °C. ۱۵۱۰.۶، ۱۲۸۲.۲، ۱۱۵۴.۱، ۹۹۱.۹، ۹۷۲.۰ (V=O)، ۸۴۶.۵، ۷۳۰.۹ (V-O).

MS (+ESI) m/z = ۵۳۳ [M + H]⁺. ۴۷۰.۴۷.



شکل ۱: ساختار شیمیایی کورکومین.

کشت) تخلیه شد. سپس در این مرحله، Lm ۱۰۰ DMSO به عنوان حلال کریستال های بنفش رنگ فورمازان که در سیتوپلاسم سلول ها ایجاد شده اند، به هر چاهک افزوده شد. پلیت، به مدت ۶ دقیقه با سرعت ۴۰۰ دور در دقیقه روی شیکر قرار گرفت تا کریستال های فورمازان تشکیل شده، کاملاً درون DMSO حل شوند. سپس شدت رنگ ها، توسط دستگاه الیزا ریدر^۷ در طول موج ۵۷۰ nm خوانده شد. بعد از محاسبات مربوطه، IC_{50} نمونه ها برای زمان مورد نظر تعیین شد.

از محیط کشت فاقد سلول، به عنوان بلانک دستگاه الیزا ریدر و از محیط کشت به همراه سلول و بدون دارو، به عنوان کنترل سلول زنده استفاده شد. لذا سه چاهک شامل سلول و محیط کشت کامل، به عنوان کنترل در نظر گرفته شد و در سه چاهک، از داروی کنترل مثبت سیس پلاتین برای مقایسه با کمپلکس مورد مطالعه، استفاده شد. هر رقت در سه چاهک از پلیت سنجش گردید و برای هر رقت، سه بار تکرار در نظر گرفته شد.

ارزیابی آپوپتوز برای کمپلکس به وسیله ای فلوسایوتومتری به منظور مطالعه چگونگی اثر کمپلکس مورد نظر بر مرگ سلولی (نکروز^۸ یا آپوپتوز^۹) ایجاد شد، مطالعه ها فلوسایوتومتری بر روی این ترکیب و سیس پلاتین به عنوان مرجع صورت می پذیرد (۶، ۷، ۳۱). آپوپتوز یک شکل منفرد از مرگ سلولی است که در اغلب بافت ها، تعداد سلول ها را در طی نمو و نیز در انواع گسترده ای از شرایط پاتولوژیک و نرمال، کنترل می رود که عبارتنداز: مرگ سلولی کنترل شده، دیگری نیز بکار می رود که آپوپتوز، اصطلاحات مرگ سلولی فیزیولوژیک، مرگ سلولی بیولوژیک و مرگ سلولی برنامه ریزی شده. از آنجایی که در مراحل اولیه آپوپتوز، فسفاتیدیل سرین^{۱۰} (که یک فسفولیپید غشایی است و باعث انعطاف پذیری غشای سلول ها می شود)، از سطح داخلی غشاء پلاسمایی به سطح خارجی آن منتقل می شود و در آنجا برای رساندن پیام مرگ به سلول های مجاور فاگوسیت های عملکردی جهت بعیدین سلول، عمل می نماید (۱۷). در روشنی جدید برای نشان دادن سلول های آپوپتوزی، Annexin V که عضوی از خانواده Annexin است را به کار می بردند (۳۰). در واقع Annexin با واسطه Ca^{+2} می تواند به فسفولیپید متصل شود و برای نشان دادن سلول های آپوپتوزی در Annexin FITC و V فیکس شده اند، بکار رود. تمایز بین سلول های آپوپتوزی و نکروتیک می تواند به وسیله ای رنگ آمیزی همزمان با پروپیدیم یدید (PI) انجام گیرد. بنابر این آنکسین AnnexinV-FITC-V^{۱۱}

۳۰۰ و ۴۰۰ میلی لیتری منتقل و در یخچال ۴ درجه نگه داری گردید. برای کشت و تکثیر این سلول ها به این محیط سرم جنین گاوی (FBS) اضافه می شود. سرم قبل از استفاده باید غیرفعال شود که برای این کار سرم در حمام آب ۵۰ درجه سانتی گراد به مدت ۲۰ تا ۳۰ دقیقه قرار داده می شود. برای تهیه بافر فسفات نمکی (PBS)، ۲ میلی مolar (0.۲M KH₂PO₄ (بدون آب)، ۱۰ میلی مolar (۱/۴۴ گرم) Na₂HPO₄ (بدون آب)، ۷/۲ میلی مolar (۰/۲ گرم) KCl و ۱۳۷ میلی مolar (۸ گرم) NaCl، در ۹۰۰ میلی لیتر آب م قطر حل شد و pH آن با NaOH به ۷/۴ رسانده شد. سپس محلول با آب م قطر به حجم یک لیتر رسانده شد.

بررسی اثرات سمیت سلولی به روش MTT

برای کنترل وضعیت سلول ها در محیط کشت، میزان بقاء^{۱۲}، و هم چنین بررسی وضعیت سلول ها بعد از تیمارهای مختلف داروبی از روش های مختلفی استفاده می شود که یکی از این روش ها تست MTT می باشد.

کمپلکس تهیه شده در این مطالعه [VO(Curc)(acac)]، برای فعالیت ضد توموری در برابر رده های سلولی HeLa، MCF-۷، HT-۲۹، Neuro-۲a، K-۵۶۲ و L۹۲۹ بررسی و از سیس پلاتین به عنوان داروی مرجع برای مقایسه استفاده شد. درصد میزان بقاء (زنده ماندن سلول ها) با استفاده از یک روش رنگ سنجی بر مبنای نمک تترازولیم MTT مورد بررسی قرار گرفت. MTT که یک نمک تترازولیم زردرنگ است توسط آنزیم دهیدروژناز موجود در میتوکندری فعل سلول های زنده احیاء شده و به ترکیب بنفس رنگ فورمازان که کریستالی و نامحلول می باشد، تبدیل می گردد. سلول ها در پلیت های ۹۶ خانه ای (چاهک) و به تعداد ۱×10^4 سلول از هر رده ای سلولی به ازای هر چاهک در Lm ۱۰۰ از محیط کشت، کشت داده شدند و برای چسبندگی مطلوب به مدت یک شب انکوبه شدند. پس از حذف دقیق محیط کشت، Lm ۱۰۰ از محیط کشت تازه، اضافه شده و انکوباسیون در ۳۷ درجه سانتی گراد و CO_2 به مدت ۲۴-۷۲ ساعت انجام گرفت. سپس کمپلکس [VO(Curc)(acac)]، ابتدا در DMSO حل و سپس در محیط کشت، رقیق شده و در غلظت های نهایی mM ۲۰-۲۰۰ به سلول ها اضافه شد. غلظت نهایی DMSO در محیط کشت در تمامی آزمون ها کمتر از ۱ بود. سیس پلاتین ابتدا در محلول نمکی حل شده و سپس در همان غلظت استفاده شده برای کمپلکس، به سلول ها اضافه شد. سپس، انکوباسیون در ۳۷ درجه سانتی گراد و CO_2 به مدت ۴۸ ساعت انجام گرفت. در پایان انکوباسیون، مقدار Lm ۲۰ از محلول MTT (۵ mg/ml) در بافر بی رنگ PBS (P) به چاهک ها اضافه شد و پس از ۳-۴ ساعت انکوباسیون، محتوای چاهک ها (محیط Viability

ELISA Reader	۱۷
Necrosis	۱۸
Apoptosis	۱۹
Phosphatidylserine: PS	۲۰

وانادیم (IV) با لیگاند کورکومین، در یک محیط متانولی کمپلکس [VO(Curc)(acac)] تهیه و شناسایی گردید. در ادامه، اثرات سمیت سلولی این کمپلکس بر روی پنج رده سلولی با روش MTT و فلوسایتومتری، مورد ارزیابی قرار گرفت. نتایج سمیت سلولی توسط کمیت IC₅₀ برای کمپلکس مورد نظر بر روی پنج رده سلولی در جدول (۱) آورده شده است.

جدول ۱: فعالیت ضدسرطانی کمپلکس مورد مطالعه در مقابل رده های سلولی HT-۲۹, MCF-۷, HeLa, K-۵۶۲, Neuro-2a پس از ۴۸ ساعت تیمار

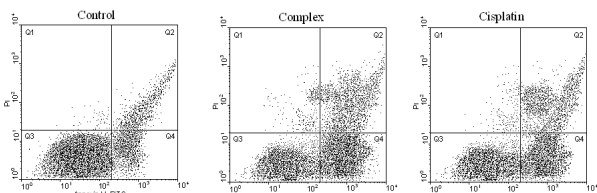
پیوسته

رده سلولی	$IC_{50} \pm SD (\mu\text{M})$	
	کمپلکس موردنظر مطالعه	سیس پلاتین
رده سلولی (انسانی) HeLa	۵/۱ ± ۶۵/۲۳	۰/۰ ± ۴۵/۱۲
رده سلولی MCF-7 (سرطان سینه انسانی)	۲/۱ ± ۴۸/۰۵	۶/۲ ± ۵۰/۱۱
رده سلولی HT-29 (سرطان روده بزرگ انسانی)	۴۲/۵ ± ۶/۱۹	۱۵/۴ ± ۴/۹۳
رده سلولی K-562 (سرطان سلول های میلوبیدی خون انسان)	۳/۱ ± ۹۹/۱۲	۲۴/۲ ± ۰/۹۳
رده سلولی Neuro-2a (نوروبلاستوما موشی)	۶۵/۶ ± ۳/۸۹	>۲۰۰
سلول های نرمال فیبروبلاست موش (L929)	۸ ± ۹۸/۱۰۶/۷	۲۹/۱ ± ۱/۸۸

الف) غلظتی از کمپلکس که بازدارنده رشد سلول ها تا ۵۰٪ باشد، هر غلظت در سه چاهک از پلیت سنجش گردید و برای هر غلظت، سه بار تکرار در نظر گرفته شد.

$M \mu\text{M}$, $IC_50 > 100$ ، غیر فعال در نظر گرفته شد.

هم چنین به منظور این که مطالعه کنیم، چگونه کمپلکس مورد نظر، مرگ سلولی (نکروز یا آپوپتوز) ایجاد می کند، مطالعه ها فلوسایتومتری بر روی این ترکیب و سیس پلاتین به عنوان مرجع انجام گرفت. نتایج فلوسایتومتری در شکل ۳ و جدول ۲، آورده شده است.



شکل ۳: دیاگرام فلوسایتومتری برای کمپلکس وانادیم-کورکومین، سیس پلاتین و گروه کنترل.

(FITC) به عنوان یک نشان گر در معرض فسفاتیدیل سرین و PI به عنوان یک نشان گر برای سلول های مرده، مورد استفاده قرار می گیرد. بر این اساس و به منظور تعیین سلول های آپوپتوزی و نکروزی در یک جمعیت سلولی تیمار شده با کمپلکس مورد مطالعه، رنگ آمیزی سلول ها با دو رنگ آنکسین-V FITC و پروپیدیم یدید (PI) در پاره تقسیم بندی ناحیه ی Q1 نمایانگر سلول های نکروزی با ویژگی آنکسین-V، منفی و پروپیدیم یدید (PI)، مثبت؛ ناحیه ی Q2 نمایانگر سلول های آپوپتوزی تاخری با ویژگی آنکسین-V FITC، مثبت و پروپیدیم یدید (PI)، مثبت؛ ناحیه ی Q3 نمایانگر سلول های سالم با ویژگی آنکسین-V FITC، منفی و پروپیدیم یدید (PI)، منفی؛ ناحیه ی Q4 نمایانگر سلول های آپوپتوزی اولیه با ویژگی آنکسین-V FITC، مثبت و پروپیدیم یدید (PI)، منفی؛ می باشدند (۱۶). بدین منظور رده های سلولی مختلف تیمار شده با کمپلکس مورد مطالعه، برای ۲۴ ساعت در یک غلظت نزدیک به IC_{50} در ۳۷ درجه سانتی گراد انکوبه شدند. پس از تیمار، سلول ها توسط تریپسین برداشت شده و با سرعت ۱۰۰۰ دور در دقیقه (r.p.m.)، به مدت ۵ دقیقه سانتریفیوژ شدند. محلول رویی (supernatant) برداشته شده و رسوب سلولی (cell pellet) در PBS و پس از آن، دو بار نیز توسط بافر (بایندیگ) پیوندی 10mM HEPES, 150mM NaCl, 5mM KCl, 18mM CaCl₂, 1mM MgCl₂، 1mM آنتی بادی آنکسین-V FITC (۵ میلی لیتر در ۱۰۰ میلی لیتر بافر پیوندی) و در ۴ درجه سانتی گراد به مدت ۱۵ دقیقه در تاریکی انکوبه شدند. نمونه ها در بافر پیوندی شسته شده و محلول رویی دور ریخته شد. رسوب سلولی در ۴۹۰ میلی لیتر بافر پیوندی و ۱۰ میلی لیتر پروپیدیم یدید (10 mg ml^{-1}) در PBS اضافه شد. فلوسایتومتری با استفاده از دستگاه فلوسایتومتر Partec PAS (Partec GmbH، آلمان) بر روی کمپلکس مورد مطالعه و سیس پلاتین به عنوان مرجع صورت گرفت.

آنالیز آماری نتایج

در تمامی مراحل، هر آزمون چهار بار تکرار شد و داده های به دست آمده به صورت $\text{Mean} \pm \text{SD}$ بیان شدند. جهت تجزیه و تحلیل داده ها از روش آنالیز واریانس یک طرفه (ANOVA) و آزمون توکی (Tukeys test) استفاده گردید. در تمامی بررسی ها سطح معنی داری آزمون ها $p < 0.05$ در نظر گرفته شد.

یافته ها

در این مطالعه، از واکنش نمک فلزی (استیل استوناتو) اکسو

صورت in vivo به اثبات رسد.

به منظور تعیین نوع مرگ سلولی القاء شده (نکروز یا آپوپتوز) توسط کمپلکس مورد نظر، از روش فلوسایتومتری استفاده گردید. تشخیص فسفاتیدیل سرین در سطح سلول ها به وسیله ای AnnexinV-FITC به عنوان یک مارکر در شناسایی سلول های آپوپتوز شده از سایر سلول ها مورد استفاده قرار می گیرد.

در واقع در شکل ۳، این امکان وجود دارد که جمعیت سلول ها را برای چهار حالت ممکن (یک چهارم ها: quadrant) به دست آوریم: جمعیت سلول های زنده (یعنی، سلول هایی که کنترل های منفی برای آنکسین V (Annexin V) و پروپیدیوم یدید (PI) ارائه می دهند؛ یک چهارم چپ، پایین)، جمعیت سلول هایی که متحمل آپوپتوز می شوند (Annexin V منفی و PI مثبت؛ یک چهارم راست، پایین)، سلول های در گیر در آپوپتوز تاخیری^{۲۱} یا نکروز، مثبت برای هر دو رنگ؛ یک چهارم راست، بالا). سلول های نکروتیک که به صورت مکانیکی تخریب شده اند فقط از نظر PI مثبت هستند؛ یک چهارم چپ، بالا).

با توجه به نتایج جدول ۲ و شکل ۳، کمپلکس مورد نظر جمعیت زیادی از سلول ها را در نواحی آپوپتوز (۵۸/۴۶) و ۱/۲ برابر بیش تر از سیس پلاتین (۴۸/۰۳) در غلظت یکسان نشان می دهد. نتایج نشان می دهد که کمپلکس جدید سنتز شده می تواند منجر به آپوپتوز سلول های سرطانی K-۵۶۲ شود. اما خاصیت پرو آپوپتوز، نیاز به بررسی های بیش تری برای درک بهتر مکانیسم دقیق عمل این کمپلکس دارد.

نتیجه گیری

از جمله مهم ترین فرایندهای سلولی که در زمان بررسی سازوکار داروهای ضد سرطان مورد توجه قرار می گیرد فرایندهای آپوپتوز و چرخه ای تقسیم سلولی می باشد. داروهای ضد سرطان بطور معمول با القاء آپوپتوز یا توقف در چرخه ای تقسیم سلولی باعث مهار رشد و تکثیر سلولی می گردند. به همین دلیل هم در این پژوهش، جهت تعیین سازوکار اثر کمپلکس جدید سنتز شده به فرایند یادشده، یعنی آپوپتوز توجه گردیده است.

در سنتز دارو های شیمی درمانی با خاصیت ضد تکثیری و القای آپوپتوز، علاوه بر آن که خاصیت سایوتوكسیک آن ها در برابر سلول های سرطانی حائز اهمیت است بلکه این ویژگی که کم ترین اثرات جانبی را روی سلول های سالم فرد بیمار داشته باشد و ارزان قیمت نیز باشند، از اهمیت بالایی برخوردار است. یکی از مؤثر ترین داروهای شیمی درمانی، سیس پلاتین است اما ایراد اساسی آن سمیت این دارو است که به سلول های سالم فرد نیز صدمه می زند (۲۶). بنابراین دانشمندان سعی دارند تا داروهای جدیدتری با اثرات سمی پایین تر و ارزان تر را جایگزین این داروهای late apoptosis

جدول ۲: درصد مرگ سلولی مشاهده شده به وسیله ای آزمون فلوسایتومتری بر روی رده های سلولی K-۵۶۲ پس از ۲۴ ساعت تیمار پیوسته

تیمار	سلول های زنده	سلول های آپوپتیک	سلول های آپوپتیک- نکروتیک	سلول های نکروتیک
کنترل	۷۹/۴۵	۱۰/۸۳	۹/۲۵	۰/۴۷
سیس پلاتین	۵۱/۱۹	۳۴/۷۶	۱۳/۲۷	۰/۷۸
کمپلکس وانادیم- کورکومین	۴۰/۵۸	۴۰/۵۱	۱۷/۹۵	۰/۹۶

بحث

هدف از این مطالعه ارزیابی اثر ضد توموری و القای آپوپتوز ترکیب سنتزی (۱۰-۷-بیس ۴-هیدروکسی ۳-متوكسی فنیل)-۱۰-۶-هپتا دی ان-۳-۵-دی اونانو) استیل استوناتو اکسو وانادیم (IV)، می باشد. درصد میزان بقاء (زنده ماندن سلول ها) با استفاده از یک روش رنگ سنجی بر مبنای نمک تترازولیم MTT مورد بررسی قرار گرفت. شدت رنگ ایجاد شده در روش MTT با سلول هایی دارای میتوکندری فعال می باشد، متناسب است. در واقع این روش برای تعیین میزان تکثیر و بقای سلول ها بعد از قرار گرفتن در معرض مواد سیوتوكسیک مورد استفاده قرار می گیرد. به طور کلی بسیاری از داروهای شیمیایی که به منظور شیمی درمانی سرطان به کار برده می شوند، اغلب سبب تغییر هایی در فرایند تقسیم سلولی شده و بدین ترتیب، تکثیر و تمایز سلول سرطانی متوقف می شود.

لذا خاصیت ضد سرطانی کمپلکس وانادیم-کورکومین، در برابر پنج رده های سلول سرطانی Neuro-۲۹، MCF-۷، HT-۲۹، K-۵۶۲ و MCF-۷، HeLa است. بررسی و از سیس پلاتین به عنوان داروی مرجع برای مقایسه استفاده شد. نتایج به دست آمده نشان داد که مقادیر IC₅₀ در ۲/۴۸ تا ۶۵/۳ تغییر می کنند در حالی که مقادیر این پارامتر در سیس پلاتین به عنوان داروی مرجع، بین ۰/۴۵ تا بیش از ۲۰۰ μM تغییر می کنند. نتایج حاصل، نشان می دهد که میزان بقاء سلول های سرطانی K-۵۶۲ و MCF-۷ در گستره ای غلظتی M-۲۰۰ nM از کمپلکس وانادیم-کورکومین پس از ۴۸ ساعت انکوباسیون تاثیر قابل ملاحظه ای بر میزان مرگ و میر این سلول های سرطانی دارد.

بررسی فعالیت کمپلکس مورد نظر بر روی مهار رشد رده های سلولی مورد مطالعه، موید این واقعیت است که این ترکیب دارای بیش ترین اثر مهاری بر روی تکثیر سلول های سرطانی K-۵۶۲ می باشد.

با توجه به اینکه در این تحقیق از رده سلولی L9۲۹ به عنوان سلول طبیعی و شاهد استفاده شد، نتایج به دست آمده در تست کمی MTT به صورت in vitro نشان می دهنند کمپلکس سنتز شده هیچ اثر سایوتوكسیکی بر روی این سلول های نرمال ندارند. باید تأکید کرد که این یافته ها جهت به کار گیری به صورت بالینی نیز باید به

تازه های بیو تکنولوژی سلولی - مولکولی دوره ششم . شماره بیست و یکم . مهسا نظری و همکاران

سمی کنند. در سال های اخیر توجه زیادی به یافتن ترکیبات ضدسرطانی جدید حاوی یون های فلزی شده است (۱۸). ترکیب سنتزی در این مطالعه، می تواند به دلیل سمیت هزینه های سنتزی کم اجزاء آن، جایگزین مناسبی برای داروهای ضدسرطانی با اثرات جانبی بالا، نظیر سیس پلاتین باشد. البته مطالعه ها و بررسی های بیش تری برای درک بهتر مکانیسم دقیق عمل این کمپلکس، نیاز می باشد.

در کل، بر اساس یافته های فوق می توان گفت که نحوه ی اثرگذاری کمپلکس واندیم-کورکومین باستی از طریق القای آپوپتوz بر روی رده های سلول های سرطانی مورد مطالعه می باشد. نتایج فلوسایتومتری کمپلکس واندیم، بیانگر این است که کمپلکس جدید سنتز شده می تواند منجر به آپوپتوz سلول های سرطانی K-۵۶۲ شود. هم چنین نتایج به دست آمده، سایوتوكسیسیته ی بیشتری را برای کمپلکس مورد نظر در مقابل رده های سلولی K-۵۶۲ و MCF-۷ نشان داد. از آنجایی که باستی این نکته نیز مورد توجه قرار می گرفت که تاثیر کمپلکس سنتز شده، بر روی سلول های سالم و غیرسرطانی چگونه است، اثر این ترکیب بر روی رده های سلول های نرمal فیبروبلاست موش (L۹۲۹)، در کنار سایر رده های سلول های سرطانی مذکور، مورد مطالعه قرار گرفت. نتایج به دست آمده اثبات می کند کمپلکس سنتز شده هیچ گونه تأثیر سایوتوكسیکی بر روی بر سلول های نرمal فیبروبلاست موش (L۹۲۹) ندارد.

سپاسگزاری

تمامی هزینه ی مالی این پژوهه تحقیقاتی از محل طرح پژوهشی ۲۸۵۰۹ مورخ ۱۳۹۲/۰۸/۲۸ در گروه شیمی، دانشکده علوم دانشگاه فردوسی مشهد تامین اعتبار گردیده است. نویسنده‌گان مقاله از مسئولین محترم دانشکده علوم دانشگاه فردوسی مشهد و نیز دانشگاه علوم پزشکی مشهد، که در اجرای این پایان نامه آن را حمایت مالی و معنوی نمودند، قدردانی می نمایند.

منابع

- (۱) منصوری ترشیزی حسن. داروهای حاوی فلزات گروه پلاتین. چاپ اول، انتشارات دانشگاه سیستان و بلوچستان (با همکاری نشر مرندیز)، ۱۳۹۰، فصل دوم، ۵۶-۲۱۷
- (۲) همتی محمدتقی، بیماری های نئوپلاستیک (مجموعه های هاریسون). چاپ اول، نشر دانش امروز (وابسته به موسسه های انتشارات امیر کبیر)، ۱۳۷۱، فصل دوم، ۵۳-۷۰
- (3) Anand P, Sundaram C, Jhurani S, Kunnumakkara AB, Aggarwal BB. Curcumin and cancer: an old-age disease with an age-old solution. *Cancer Lett.* 2008; 267: 64-133.
- (4) Baum L, Lam CW, Cheung SK, Kwok T, Lui V, Tsoh J & et al. Six-month randomized, placebo-controlled, double-blind, and pilot clinical trial of curcumin in patients with Alzheimer disease. *J Clin Psychopharmacol*, 2008; 28: 3-110.
- (5) Chandran B, Goel A. A randomized, pilot study to assess the efficacy and safety of curcumin in patients with active rheumatoid arthritis. *Phytother Res*, 2012; 26: 25-1719.
- (6) Cotter TG, Lennon SV, Glynn JG, Martin SJ. Cell death via apoptosis and its relationship to growth, development and differentiation of both tumor and normal cells. *Anticancer Res*, 1990; 10: 1153-1160.
- (7) Darzynkiewicz Z, Bruno S, Del Bino G, Gorczyca W, Hotz MA, Lassota P, Traganos F. Features of apoptotic cells measured by flow cytometry. *Cytometry*, 1992; 13: 795-808.
- (8) Faneca H, Figueiredo VA, Tomaz I, Gonçalves G, Avecilla F, Pedroso de Lima MC & et al. Vanadium compounds as therapeutic agents: some chemical and biochemical studies. *J Inorg Biochem*, 2009; 103: .8-601
- (9) Ghosh P, DCruz OJ, Narla RK, Uckun FM. Apoptosis inducing vanadocene compounds against human testicular cancer. *Clin Cancer Res*, 2000; 6: 45-1536.
- (10) Huang C, Zhang Z, Ding M, Li J, Ye J, Leonard SS & et al. Vanadate induces p53 transactivation through hydrogen peroxide and causes apoptosis. *J Biol Chem*, 2000; 275: 22-32516.
- (11) Itkes AV, Imamova LR, Alexandrova NM, Favorova OO, Kisseelev LL. Expression of c-myc gene in human ovary carcinoma cells treated with vanadate. *Exp Cell Res*, 1990; 188: 71-169.
- (12) Kanna PS, Mahendrakumar CB, Indira BN, Srivastava S, Kalaiselvi K, Elayaraja T, et al. Chemo preventive effects of vanadium toward 1, 2-dimethylhydrazine-induced genotoxicity and preneoplastic lesions in rat colon. *Environ Mol Mutagen*, 2004; 44: 8-113.
- (13) Kim SJ, Son TG, Park HR, Park M & et al. Curcumin stimulates proliferation of embryonic neural progenitor cells and neurogenesis in the adult hippocampus. *J Biol Chem*, 2008; 283: 505-14497.
- (14) Kurd SK, Smith N, VanVoorhees A, Troxel AB, Badmaev V, Seykora JT & et al. Oral curcumin in the treatment of moderate to severe psoriasis vulgaris: A prospective clinical trial. *J Am Acad Dermatol*, 2008; 58: 31-625.
- (15) Lampronti I, Bianchi N, Borgatti M, Fabbri E, Vizziello L, Khan MT & et al. Effects of vanadium complexes on cell growth of human leukemia cells and protein-DNA interactions. *Oncol Rep*, 2005; 14: 9-15.
- (16) LaPensee EW, Schwemberger SJ, LaPensee CR, Bahassi E, Afton SE, Ben-Jonathan N. Prolactin confers resistance against cisplatin in breast cancer cells by activating glutathione-S-transferase. *Carcinogenesis*, 2009; 30:1298-1304.
- (17) Martin SJ, Reutelingsperger CP, McGahon AJ, Rader JA, Van Schie RC, LaFace DM, Green DR.

Early redistribution of plasma membrane phosphatidylserine is a general feature of apoptosis regardless of the initiating stimulus: inhibition by overexpression of Bcl-2 and Abl. *J Exp Med.* 1995; 182: 56-1545.

- (18) Meshkini A, Yazdanparast R. Chemo sensitization of human leukemia K562 cells to taxol by a Vanadium-salen complex. *Exp Mol Pathol.* 2010; 89: 42-334.
- (19) Noblia P, Vieites M, Parajon-Costa BS, Baran EJ, Cerecetto H, Draper P & et al. Vanadium (V) complexes with salicylaldehyde semicarbazone derivatives bearing in vitro anti-tumor activity toward kidney tumor cells (TK- 10): crystal structure of [VVO₂(5-bromosalicylaldehyde semicarbazone)]. *J Inorg Biochem.* 2005; 99: 51-443.
- (20) Ray RS, Rana B, Swami B, Venu V, Chatterjee M. Vanadium mediated apoptosis and cell cycle arrest in MCF7 cell line. *Chem Biol Interact.* 2006; 163: 47-239.
- (21) Sandur SK, Ichikawa H, Pandey MK, Kunnumakkara AB, Sung B, Sethi G & et al. Role of pro-oxidants and antioxidants in the anti-inflammatory and apoptotic effect of curcumin. *Free Radic Biol Med.* 2007; 43: 80-568.
- (22) Sharma RA, Gescher AJ and Steward WP. Curcumin: the story so far. *Eur J Cancer.* 2005; 41: 68-1955.
- (23) Steigerwalt R, Nebbioso M, Appendino G, Belcaro G, Ciamaichella G, Cornelli U & et al. Meriva (R), a lecithinized curcumin delivery system, in diabetic microangiopathy and retinopathy. *Panminerva Med.* 2012; 54: 6-11.
- (24) Storr T, Mitchell D, BuglyoP, Thompson K.H, Yuen V.G, McNeill J.H, Orvig C. Vanadyl-Thiazolidinedione Combination Agents for Diabetes Therapy. *Bio conjugate Chem.* 2003; 14: 212-221.
- (25) Suskind DL, Wahbeh G, Burpee T, Cohen M, Christie D, Weber W. Tolerability of curcumin in pediatric inflammatory bowel disease: a forced-dose titration study. *J Pediatr Gastroenterol Nutr.* 2013; 56: 9-277.
- (26) Takimoto CH, Calvo E. Principles of Oncologic Pharmacotherapy in Pazdur R Wagman LD Camphausen KA Hoskins WJ (Eds) *Cancer Management: A Multidisciplinary Approach.* 11 ed. 2008.
- (27) Thompson K.H, Bomerle K, Polishchuk E, Martins C, Toleikis P, Tse J, Yuen V, McNeill J.H, Orvig C. Complementary inhibition of synoviocyte, smooth muscle cell or mouse lymphoma cell proliferation by a vanadyl curcumin complex compared to curcumin alone. *J. Inorg. Biochem.* 2004; 98: 2063-2070.
- (28) Thompson HJ, Chasteen ND, Meeker LD. Dietary vanadyl (IV) sulfate inhibits chemically-induced mammary carcinogenesis. *Carcinogenesis.* 1984; 5: 51-849.
- (29) Van der Geyten S, Van den Eynde I, Segers IB, Kühn ER, Darras VM. Differential expression of iodothyronine deiodinases in chicken tissues during the last week of embryonic development. *Gen Comp Endocrinol.* 2002; 128: 65-73.
- (30) Vermes I, Haanen C, Steffens-Nakken H, Reutelingsperger C. A novel assay for apoptosis. Flow cytometric detection of phosphatidylserine expression on early apoptotic cells using fluorescein labelled Annexin V. *J Immunol Methods.* 1995; 184: 39-51.
- (31) Williams G. T. Programmed cell death: apoptosis and oncogenesis. *Cell.* 1991; 65: 1097-1098.
- (32) Wyllie AH. Apoptosis and the regulation of cell numbers in normal and neoplastic tissues: an overview. *Cancer Metastasis Rev.* 1992; 11: 95-103.